

ارزیابی روش PIV در تعیین مقیاس‌های آشفتگی

محمد موحدان* و میشل بلورژه**

* نگارنده مسئول، نشانی: کرج، بلوار شهید فهمیده، مؤسسه تحقیقات فنی و مهندسی کشاورزی، ص. پ. ۳۱۵۸۵-۸۴۵، تلفن: ۰۲۶۱ ۲۷۰۵۳۲۰

پیامنگار: m.movahedan@gmail.com

** بهترتبیع عضو هیئت علمی مؤسسه تحقیقات فنی و مهندسی کشاورزی؛ و استاد دانشگاه کان فرانسه

تاریخ دریافت: ۸۷/۴/۱۹؛ تاریخ پذیرش: ۸۷/۸/۱۱

چکیده

با توجه به پیچیدگی‌ها و کاربردهای فراوان آشفتگی جریان، شناخت صحیح و کمی مقیاس‌های این نوع جریان در مسائل مختلف اهمیت ویژه‌ای دارد. به منظور تعیین مقیاس‌های آشفتگی، از روش‌های آزمایشگاهی متفاوت می‌توان بهره جست. اما نکته مهم در استفاده از این روش‌ها، صحت و دقت آنهاست. در این مقاله ابتدا ضمن بررسی روش مرسوم تیلور جهت تعیین مقیاس‌های آشفتگی، روش تعیین ضرایب همبستگی با استفاده از تکنیک‌های آزمایشگاهی نظری سرعت سنج سیم داغ، سرعت سنج لیزری بررسی می‌شود و پس از اجرای آزمایش روی یک جریان روباز، کارایی سیستم سرعت‌سنجی با تصویربرداری از ذرات در تعیین مقیاس‌های آشفتگی بررسی خواهد شد. نتایج این تحقیق نشان می‌دهد که روش ضرایب همبستگی و به خصوص استفاده از سیستم سرعت سنجی با تصویربرداری از ذرات، به رغم محدودیت‌های آن در فرکانس تصویربرداری و تفکیک پذیری دوربین و پالس‌های لیزر، می‌تواند دسترسی به مقیاس‌های آشفتگی در شرایط پیچیده را هموار سازد.

واژه‌های کلیدی

روش آزمایشگاهی، سرعت‌سنجی با تصویربرداری از ذرات، سرعت‌سنجی لیزری، ضرایب همبستگی، مقیاس آشفتگی

را در برمی‌گیرند (مقیاس‌های بزرگ یا ماکرو، مقیاس‌های تیلور، و مقیاس‌های کولموگروف) که محدوده هر یک از این مقیاس‌ها با پدیده‌های مختلفی توصیف می‌شود. برای مثال، مقیاس‌های بزرگ یا مقیاس‌های حامل انرژی، پخش انرژی^۱ در جریان را کنترل می‌کنند در حالی که پروسه اتلاف انرژی^۲ پدیده‌ای مبتنی بر مقیاس‌های کوچک شناخته می‌شود.

شناخت صحیح و کمی این مقیاس‌ها برای استفاده در تکنیک‌های عددی و آزمایشگاهی و بهمنظور فهم دقیق

شناخت دقیق‌تر جریان آشفته، با توجه به پیچیدگی‌های این نوع جریان، یکی از هدف‌های اساسی در کاربردهای صنعتی و زیست محیطی است؛ و در غیاب وجود تئوری واحد، شناخت بهتر این جریان عمده‌تاً به اندازه‌گیری‌های آزمایشگاهی، شبیه‌سازی‌های عددی، و به توان ما در تفسیر نتایج با استفاده از ابزارهای خاص بستگی دارد. جریان‌های آشفته بر اساس نظریه آبشار انرژی^۱، محدوده‌ای وسیع از اشلهای^۲ یا مقیاس‌های مختلف

1- Energy Cascade

2- Scales

3- Diffusion

4- Dissipation



© 2011, The Author(s). Published by [Agricultural Engineering Research Institute](#). This is an open-access article distributed under the terms of the Creative Commons Attribution License (<https://creativecommons.org/licenses/by/4.0/>).

از تشکیل مقیاس‌های کوچک‌تر جریان جلوگیری کند (اتلاف انرژی به گرما در اثر لزوجت). در انتهای آبشار انرژی، بین بزرگ‌ترین و کوچک‌ترین مقیاس‌های جریان، اختلاف زیادی از بعد زمانی و مکانی وجود دارد. با این توصیف، شناخت دقیق جریان آشفته مستلزم شناخت مقیاس‌های مشخصه این جریان در ابعاد زمانی و مکانی است.

اندازه بزرگ‌ترین گردابه‌های موجود در جریان (L) یا مقیاس ماکرو یا مقیاس انتگرال که طول همبستگی جریان نیز نامیده می‌شوند اغلب تابعی از اندازه مانع، فرم بستر و... هستند که در جریان وجود دارند و گردابه‌های بزرگ‌تر از این اندازه، با مستغرق شدن در جریان اصلی، استقلال خود را از دست می‌دهند. از سوی دیگر، اندازه کوچک‌ترین ساختار جریان (λ) یا مقیاس کولموگروف، همان‌طور که بیان شد با نیروی لزوجت تعیین می‌شود. بین این دو مقیاس، مقیاس تیلور (λ) وجود دارد که به منظور نمایش میزان اتلاف انرژی یا ϵ استفاده می‌شود. برای دوره دوام ساختار آشفته نیز چنین ملاحظاتی را می‌توان به کار برد و مقیاس‌های زمانی آشفته^۴ را تعریف کرد.

به صورت دقیق‌تر، مقیاس طولی آشفته را با رابطه زیر می‌توان تعریف کرد (Tennekes & Lumley, 1997).

$$U = \bar{U} + u, L_f = \frac{u^3}{\varepsilon} \quad (1)$$

که در آن، L_f = مقیاس طولی ماکرو یا مقیاس انتگرال طولی (در جهت موازی جریان)؛ u = مجدور مربعات نوسانات سرعت نوسانی u ؛ و U = سرعت لحظه‌ای؛

پدیده‌هایی مانند انتقال رسوب، احتراق، و واکنش‌های شیمیایی اهمیت ویژه‌ای دارد. برای نمونه از دیدگاه انتقال رسوب، در نظر گرفتن آشفته و مقیاس‌ها و ساختار آن از چند جهت مهم است. از یک سو، بین ساختار جریان آشفته و قطر ذرات متعلق در جریان می‌توان ارتباطی منطقی برقرار کرد (Monin & Yaglom, 1971) و از سوی دیگر بر تغییر سرعت تهذیبی ذرات متعلق (Murray, 1970; Nielsen, 1992; Cadiergue *et al.*, 1999) و نیز بر چگونگی حرکت رسوبات معلق و بار بستر (Summer & Walling, 2002)، تأثیر می‌گذارند.

به منظور تعیین مقیاس‌های آشفته، از روش‌ها و تکنیک‌های آزمایشگاهی متفاوتی می‌توان استفاده کرد ولی یکی از سوالات اساسی این است که صحت و دقت روش‌های مورد استفاده تا چه اندازه است؟ در این مقاله، ابتدا ضمن مروری بر تاریخچه و روش‌های آزمایشگاهی تعیین مقیاس‌های آشفته همانند سرعت‌سنجدگی داغ^۱ (HWA) و سرعت‌سنجدی لیزری^۲ (LDV)، محدودیت‌های این سیستم‌ها در تعیین مقیاس‌های آشفته بررسی می‌شود و پس از آن مقیاس‌های آشفته در یک جریان روباز با استفاده از تکنیک سرعت‌سنجدی با تصویر برداری از ذرات^۳ (PIV) با کاربرد روش ضایعه همبستگی تعیین و بررسی می‌شود.

مبانی نظری

به رغم طبیعت نامشخص جریان آشفته، تشریح این نوع جریان امکان‌پذیر خواهد بود. انرژی جنبشی آشفته که جریان اصلی فراهم کرده است، به صورتی پیوسته از گردابه‌های بزرگ به گردابه‌های کوچک و کوچک‌تر انتقال می‌یابد. این فرایند تا آنجا ادامه می‌یابد که نیروی لزوجت

1- Hot Wire Anemometry

2- Laser Doppler Velocimetry, LDV

3- Particle Image Velocimetry, PIV

تابعی از لزوجت سینماتیک و میزان اتلاف بر واحد جرم سیال، ϵ نشان داد (رابطه ۵)،

$$v_k = (U\epsilon)^{1/4}, \quad \tau_k = \frac{\eta_k}{v_k} = \left(\frac{U}{\epsilon}\right)^{1/2}, \quad \eta_k = \left(\frac{U^3}{\epsilon}\right)^{1/4} \quad (5)$$

که در آن، $v_k = \sqrt{U\epsilon}$ مقیاس سرعت کولموگروف است. مطالعه طیف انرژی جنبشی یا تحلیل فرکانس جریان، حضور مقیاس‌های مختلف طولی را در یک جریان آشفته کاملاً توسعه یافته تایید می‌کند (Hinze, 1975). روش‌های اساسی برای تعیین مقیاس‌های آشفتگی از طریق آزمایشگاهی عبارت‌اند از:

- روش تیلور مبتنی بر توربولانس شبکه،
- اندازه‌گیری ضرایب همبستگی نوسانات سرعت.

\overline{U} سرعت متوسط؛ ϵ = میزان اتلاف انرژی است. در جهت عمود بر جریان نیز ماکرو مقیاس جانبی (L_f) را می‌توان تعریف کرد که در جریان آشفته همسانگرد^۱ L_f دو برابر L_g طول خواهد داشت. مقیاس یا مشخصه زمانی گردابه‌های بزرگ^۲ (T_f) که در واقع مرتبه‌ای از دوام زمانی این گردابه‌هاست نیز با رابطه ۲ تعریف می‌شود (Padet, 1990).

$$T_f = \frac{L_f}{\sqrt{\overline{u^2}}} = \frac{L_f}{u'} \quad (2)$$

برای مقیاس تیلور (λ) هم به همین ترتیب دو مقیاس طولی (در جهت جریان یا λ_t و عمود بر جریان یا λ_g) را می‌توان تعریف کرد (رابطه ۳)،

$$\lambda_g = \left(15U \frac{\overline{u^2}}{\epsilon} \right)^{1/2} = \left(15U \frac{u'^2}{\epsilon} \right)^{1/2} \quad (3)$$

که در آن، $U =$ لزوجت سینماتیک است. دوام زمانی مقیاس تیلور (τ_t) نیز با رابطه ۴ تعیین می‌شود.

$$\tau_t = \frac{1}{\sqrt{15}} \frac{\lambda_f}{\sqrt{\overline{u^2}}} \quad (4)$$

روش تیلور

در این روش که مبتنی بر توربولانس شبکه^۳ است، مشخصات جریان آشفته با استفاده از الگوی زوال آشفتگی^۴ در پایین دست شبکه و با استفاده از فرضیه تیلور قابل دسترس است. به این ترتیب تغییرات مکانی پارامترها با استفاده از سرعت متوسط جریان \overline{U} تبدیل به تغییرات زمانی آنها می‌شود (رابطه ۶).

$$\frac{\partial}{\partial t} = -\overline{U} \frac{\partial}{\partial x} \quad (6)$$

برای استفاده از چنین فرضیه‌ای، جریان آشفته باید همگن و همسانگرد^۵ بوده علاوه بر ثابت بودن سرعت متوسط جریان، شدت آشفتگی (I) نیز باید نسبتاً پایین باشد (رابطه ۷).

اندازه کوچک‌ترین ساختار در جریان آشفته یا ساختارهای اتلافی^۶ با مقیاس کولموگروف (η) تعریف می‌شود. برای جریان آشفته با عدد رینوودز بالا، مقیاس طولی و زمانی کولموگروف (η_k و τ_k) را می‌توان به صورت

1- Isotropic Turbulence
4- Grid Turbulence

2- Integral Time Scale
5- Turbulence Decay

3- Dissipative Structures
6- Homogeneous and Isotropic

نوسانات سرعت می‌تواند دسترسی به مقیاس‌های آشفتگی را هموار سازد (Murzyn & Bélorgey, 2002).

$$I = \frac{\sqrt{u^2}}{U} < 0.20 \quad (7)$$

اندازه‌گیری ضرایب همبستگی نوسانات سرعت
 وجود همبستگی بین نوسانات سرعت در دو نقطه مختلف جریان، می‌تواند به این معنی باشد که یک گردابه دو نقطه را به هم پیوند می‌زنند. بنابراین، اندازه گردابه (به طور متوسط) باید بزرگ‌تر از فاصله دو نقطه باشد. این همبستگی، دسترسی به مقیاس مکانی آشفتگی را ممکن می‌سازد. برای ۲ نقطه (A و B) به فاصله r از یکدیگر (شکل ۱)، ضرایب همبستگی نوسانات سرعت از رابطه ۱۰ به دست می‌آید،

$$R_{i,j}(r) = \frac{(u_i)_A (u_j)_B}{\sqrt{(u_i)^2_A} \sqrt{(u_j)^2_B}} \quad (10)$$

که در آن، i و j = اندیس‌های مربوط به جهت‌بردار سرعت هستند. بر این اساس، ضرایب همبستگی در جهت طولی و قائم به ترتیب R_{11} و R_{22} خواهند بود ($0 \leq R_{i,j} \leq 1$). مقیاس طولی (مقیاس انتگرال) بر اساس ضریب همبستگی، با رابطه ۱۱ تعریف می‌شود،

$$L_f = \int_0^\infty R_{11}(r) dr \quad (11)$$

در روش تیلور، روند تغییرات انرژی جنبشی آشفتگی نسبت به منبع تولیدکننده آن (مثلاً یک شبکه) در نظر گرفته می‌شود و میزان اتلاف انرژی، مقیاس‌های آشفتگی را در اختیار قرار می‌دهد. بر این اساس، اندازه گردابه‌های بزرگ و کوچک به ترتیب با میزان اتلاف ε مرتبط می‌شود (روابط ۸ و ۹)،

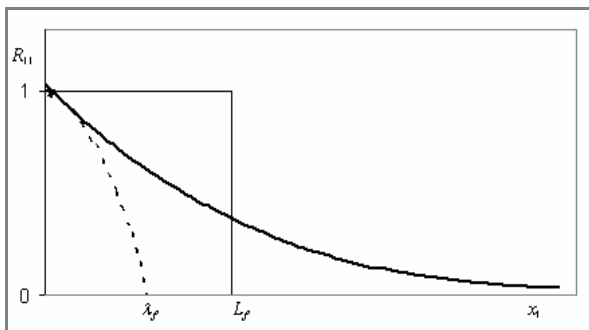
$$\varepsilon = A \left(\sqrt{u^2} \right)^3 / L_f \quad (8)$$

که در آن، A = ضریب تناسب است.

$$\varepsilon = 30 \nu \overline{u^2} / \lambda_f \quad (9)$$

این روش، روشهای مرجع و برای تعیین مشخصات آشفتگی است و به فراوانی به کار رفته است (Frenkiel *et al.*, 1979; Mohamed & Larue, 1990; Bélorgey *et al.*, 1999; Zhou & Antonia, 2000; Murzyn & Bélorgey, 2002). با این حال در شرایط جریان آشفته غیر همگن، مقیاس‌های آشفتگی را نمی‌توان از روش‌های معمول مثل روش تیلور یا فریدمن-کلر^۱ به دست آورد زیرا در این حالت توزیع مقیاس انتگرال، تابعی از مختصات انتخابی خواهد بود (Derbunovich *et al.*, 1978). در چنین وضعیتی استفاده از همبستگی

۱- Friedmann-Keller

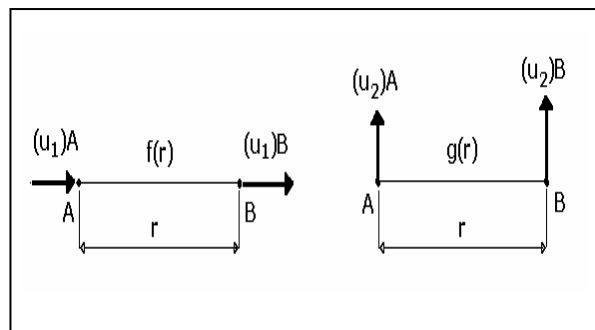


شکل ۲- منحنی تغییرات ضریب همبستگی نوسانات سرعت دو نقطه بر حسب فاصله بین آنها

مختلف اندازه‌گیری می‌توان بهره برد که به طور خلاصه به مزايا و معایب هر یک پرداخته می‌شود.

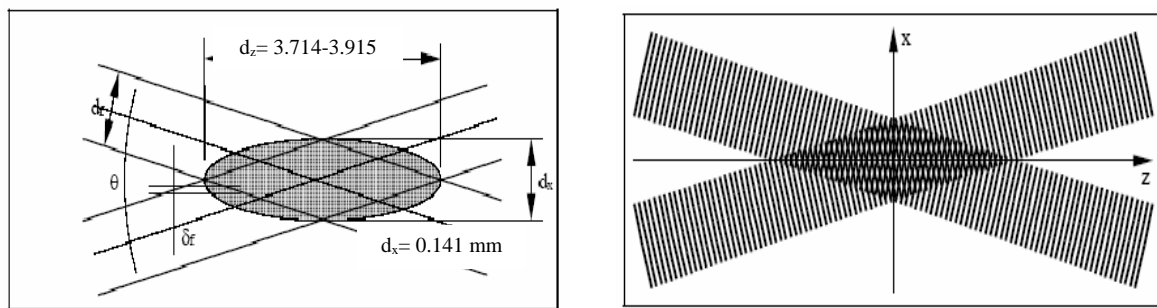
سرعت‌سنج سیم داغ (HWA)

اساس سرعت‌سنج سیم داغ مبتنی است بر تغییر مقاومت الکتریکی فلزات با دمای آنها (در اینجا سیم بسیار نازک از جنس پلاتین) که آن همبستگی دارد به شدت خنک کنندگی یا سرعت جريان سیال در اطراف سیم. اولین آزمایش بهمنظور تعیین همبستگی نوسانات سرعت را فور (Favre, 1965) با استفاده از ۲ سیم داغ اجرا کرد که به فاصله r از یکدیگر قرار داده شده بودند. مشکل اصلی هنگامی ظاهر شد که دو سیم خیلی بهم نزدیک بودند. در این حالت، اندازه‌گیری به دلیل تاثیرات متقابل دو سیم با مشکل همراه بود و دسترسی به مقیاس‌های کوچک به سختی ممکن شد. نکته مهم آن است که چون سیم داغ یک روش مزاحم^۲ اندازه‌گیری جريان است، حدنهایی مقیاس قابل اندازه‌گیری طبیعتاً در حد مقیاس طولی سیم داغ است (مرتبه‌ای از میلی‌متر).



شکل ۱- همبستگی نوسانات سرعت طولی $f(r)$ و عرضی $g(r)$

که در آن، $r = L_f$ در واقع سطح زیر منحنی تغییرات ضریب همبستگی بر حسب فاصله بین دو نقطه است. این منحنی طبیعتاً نزولی است و با افزایش فاصله بین نقاط، همبستگی به سمت صفر می‌کند (شکل ۲).
می‌توان نشان داد که در آشفتگی همگن و همسانگرد، مقیاس تیلور هم بر تابع خودهمبستگی^۱ نوسانات سرعت در جهت جريان، استوار است و محل تقاطع سهمی (سهمی مماس بر منحنی تابع همبستگی در مبدأ مختصات) با محور افقی، مقیاس تیلور را نشان می‌دهد (شکل ۲). دسترسی به مقیاس زمانی آشفتگی هم با تعیین ضرایب همبستگی در یک نقطه اما در فواصل زمانی متفاوت صورت می‌گیرد و روند منحنی تغییرات ضرایب همبستگی با زمان، همان است که برای مقیاس مکانی بیان شد. بنابراین، در روش همبستگی باید مؤلفه‌های سرعت لحظه‌ای در نقاط مختلف، همزمان اندازه‌گیری شوند که بسته به نوع سیستم استفاده شده برای اندازه‌گیری میدان سرعت، باید تمهداتی خاص برای این امر به کار گرفته شود. برای این منظور از سیستم‌های



شکل ۳- تقاطع اشعه لیزر و ابعاد حجم اندازه‌گیری ناشی از آن در سرعت‌سنج لیزری (Anon, 1998)

این پیشنهاد سال‌ها بعد توانست صورت عملی به خود گیرد. اریکsson و کارلسون (Eriksson & Karlsson, 1995) با استفاده از دو سوند لیزر مجزا توانستند همبستگی دوگانه را در خروجی یک جت آب به دست آورند. در این شیوه، یکی از سوندها در تمام آزمایش‌ها ثابت بود و دیگری جایه‌جا می‌شد. برای تضمین هم‌زمانی اندازه‌گیری سوندها به هنگام استفاده از دو سوند مجزا، فاکتور زمان انطباق^۱ سرعت‌های لحظه‌ای باید کوچک در نظر گرفته می‌شد و گرنه مقادیر همبستگی به شدت کاهش می‌یافتد. همچنین نتایج تحقیقات محققان نشان داد که دقیق‌تر یا تفکیک مکانی^۲ عاملی مهم در تعیین مقیاس تیلور است زیرا این مقیاس برخلاف مقیاس انتگرال، به تفکیک مکانی حساس است. از سوی دیگر، ابعاد حجم اندازه‌گیری در سرعت‌سنج لیزری باید مرتبه‌ای از مقیاس کولموگروف باشد تا بتوان تخمینی درست از همبستگی در فواصل کم بین دو نقطه اندازه‌گیری به دست آورد. ابعاد حجم اندازه‌گیری سیستم سرعت‌سنج لیزری متعلق به شرکت "دان تک"^۳ در حد چند دهم میلی‌متر است (شکل ۳). سرانجام حجم‌های اندازه‌گیری سرعت‌سنج لیزری با استفاده از سیستمی مرکب از دو نیمه عدسی متصل به سوند لیزر از یک دیگر Cenedese et al., 1991; Belmabrouk, 1992; Michelet et al., 1998 مجزا شدند (با مبروك ۱- Coincidence Time ۲- Spatial Resolution ۳- Dantec).

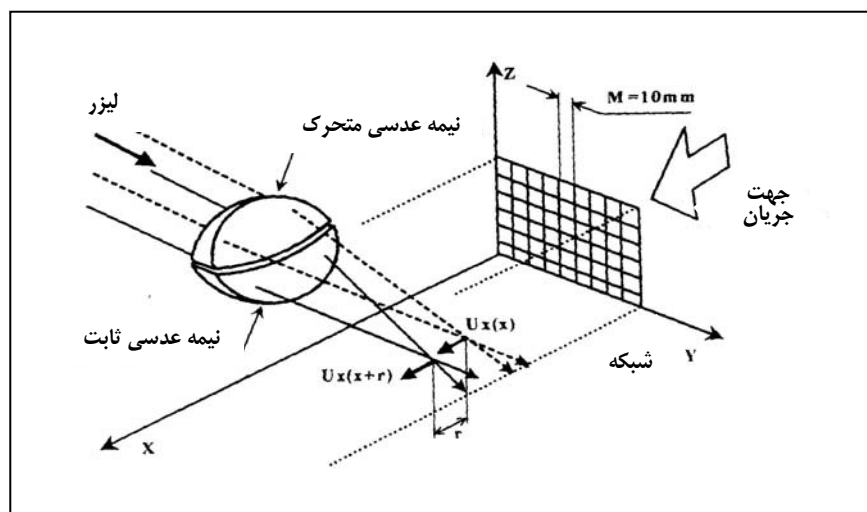
استفاده از سرعت‌سنجی لیزری (LDA)
سیستم اندازه‌گیری لیزری سیستمی است نوری، غیر مزاحم، و نقطه‌ای جهت اندازه‌گیری سرعت لحظه‌ای جریان که نیاز به کالیبراسیون ندارد و اساس اندازه‌گیری سرعت در آن مبتنی بر پدیده داپلر یعنی متناسب‌بودن سرعت ذره داخل جریان با تغییر فرکانس نور باز تابیده از ذره است (ذره عبوری از محل تقاطع اشعه لیزر). اولین ایده جهت تعیین همبستگی‌های مکانی و زمانی به کمک Bourke et al., 1971 سرعت‌سنج لیزری را بورک و همکاران (Morton & Clark, 1971) ارائه دادند. مورتون و کلارک (1971) نیز با استفاده هم‌زمان از دو دستگاه سرعت‌سنجی لیزری مجزا توانستند همبستگی‌های مکانی نوسانات سرعت را در جریان داخل لوله‌ای به قطر ۲۵ میلی‌متر و $Re < 3460$ به دست آورند. نتایج تحقیقات آنها نشان داد که اندازه مقیاس طولی ماکرو با افزایش عدد رینولدز افزایش می‌یابد. مشکل اصلی در این روش، نیاز به استفاده از دو سیستم مجزای سرعت‌سنجی لیزر و نیز تضمین هم‌زمانی اندازه‌گیری‌هاست.

کل و همکاران (Cole et al., 1980) پیشنهاد کردند که به جای استفاده هم‌زمان از دو دستگاه سرعت سنج، بهتر است حجم‌های اندازه‌گیری سیستم سرعت سنج لیزری (با قابلیت اندازه‌گیری دو مولفه سرعت) را از هم مجزا کرد؛

ارزیابی روش PIV در تعیین مقیاس‌های...

حجم‌های اندازه‌گیری را برای تعیین همبستگی‌های نوسانات سرعت در شرایط جریان پیچیده مثل حالت موج و جریان یا جریان آشفته غیرهمسانگرد^۱ نشان داد. با این حال، حداقل فاصله ۲ نقطه اندازه‌گیری (۷) در این روش به ۲۰ میلی‌متر محدود می‌شود. همچنین، با این روش تنها یکی از مولفه‌های سرعت لحظه‌ای به طور همزمان در دو نقطه متفاوت قابل اندازه‌گیری است و افزودن تجهیزات نوری به سوند لیزر سبب کاهش قابل توجه فرکанс اندازه‌گیری نوسانات سرعت می‌شود (Movahedian, 2007). تحقیقات اخیر نشان می‌دهد که تخمین دقیق مقیاس انتگرال نیازمند تعیین همبستگی در فاصله ۳ تا ۸ برابر این مقیاس است (Pope, 2000; O'Neill *et al.*, 2004)

(Belmabrouk, 1992) با استفاده از همین سیستم، مقیاس آشفتگی در جریان داخل سیلندر و میشه و همکاران Michelet *et al.*, 1998) میزان اتلاف انرژی را به طور مستقیم در جریان پایین دست یک شبکه تعیین کردند (شکل ۴). مورزین (Murzyn, 2002) نیز با استفاده از همین روش موفق، ضرایب همبستگی و مقیاس‌های زمانی و مکانی آشفتگی را در حالت وجود همزمان موج منظم و یک جریان آزاد روی یک بستر هموار، تعیین کرد. در این روش، مجموعه دو نیم عدسی ابتدا حجم‌های اندازه‌گیری را جدا کرد، یکی از نیم عدسی‌ها ثابت و دیگری متحرک بود که از این طریق فاصله دو نقطه اندازه‌گیری تعیین می‌شد. مطالعات مورزین و بلورژه (Murzyn & Bélorgey, 2005)، قابلیت روش جداسازی

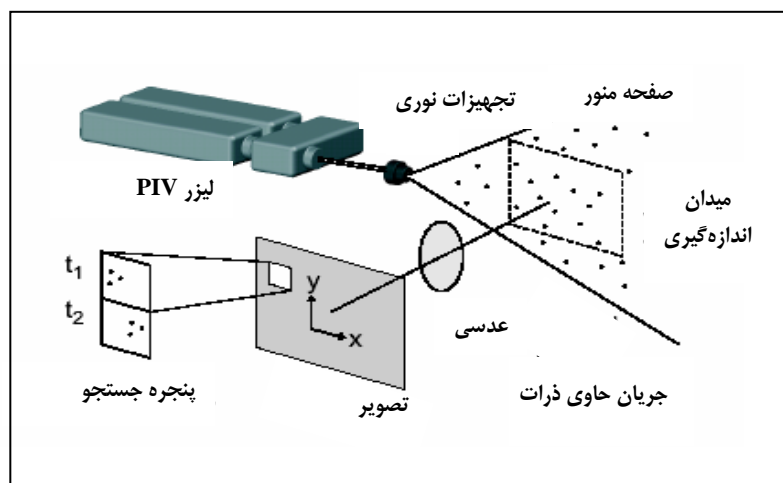


شکل ۴- سیستم نوری متصل به سوند لیزر به منظور تفکیک حجم‌های اندازه‌گیری (Michelet *et al.*, 1998)

استفاده از سیستم سرعت‌سنجی با تصویربرداری از ذرات (PIV) (Saarenrinne *et al.*, 2001) از آزمایش یک سیم داغ با دمای ثابت^۳ (CTA) و PIV در جریان حاصل از یک پروانه^۴ چرخان داخل سیلندر، نشان داد که برای داشتن مرتبه‌ای صحیح از مقدار انرژی جنبشی آشفتگی و اتلاف انرژی، تفکیک‌پذیری تصاویر^۵ ضبط شده باید به ترتیب در محدوده ۲۰-۹۰ و ۲-۹ برابر مقیاس تیلور باشد. نکته اساسی در این تحقیق آن است که خود سیم داغ، همان‌طور که بیان شد، می‌تواند برای تعیین مقیاس تیلور با مشکل روبرو شود و حد نهایی مقیاس قابل اندازه‌گیری با این دستگاه در حد مقیاس طولی سیم داغ (میلی‌متر) است. هیو جانگ و همکاران (Hyo Jung *et al.*, 2005) نیز با استفاده از یک سیستم PIV با دوربینی با تفکیک‌پذیری در محدوده ۲۰/۷۶ و ۱/۲-۱/۳، مقیاس تیلور را با استفاده از روش همبستگی، در دو فاز مختلف موج، تنها در دو نقطه روی بستر تعیین کردند. با این همه، به دلیل مشخصه سیستم‌های معمولی PIV (پایین بودن فرکانس پالس لیزر^۶ یا سرعت تصویربرداری^۷) و پایین بودن تفکیک‌پذیری تصویری سیستم، استفاده چندانی از سیستم PIV برای تعیین مقیاس‌های آشفتگی در جریان‌های پیچیده نشده است (Movahedian *et al.*, 2007).

روش سرعت‌سنجی با تصویربرداری از ذرات نیز روشی نوری بدون مزاحمت است که تصویربرداری از جریان و اندازه‌گیری لحظه‌ای میدان سرعت را به طور همزمان ممکن می‌سازد. در این روش، سرعت در صفحه‌ای اندازه‌گیری می‌شود که موازی جهت جریان است، میدان اندازه‌گیری سرعت لحظه‌ای بسیار وسیع‌تر از سایر روش‌های اندازه‌گیری است، و اطلاعات مفیدی درباره ساختار زمانی و مکانی جریان در اختیار قرار می‌دهد. در این سیستم، از میدان اندازه‌گیری جریان حاوی ذرات^۱ مخصوص دو تصویر با فاصله زمانی اندک گرفته می‌شود. مبداء با تعیین جابه‌جایی ذرات در این فاصله زمانی از روی تصاویر، سرعت ذرات در هر بخش از میدان اندازه‌گیری (پنجره جستجو^۲) محاسبه خواهد شد (شکل ۵). این سیستم همچنین امکان می‌دهد که بتوان از آن چون ابزاری برای اندازه‌گیری ساختار آشفتگی در شرایط مختلف بهره برد و به برخی مقیاس‌های آشفتگی دسترسی پیدا کرد (Goepfert *et al.*, 2004).

مقایسه نتایج تحقیقات سارنرین و همکاران



شکل ۵- پیکربندی کلی یک سیستم PIV دو بعدی (LaVision, 2002)

- 1- Seeding Particles
- 4- Propeller
- 7- Framing Rate

- 2- Interrogation Window
- 5- Resolution

- 3- Constant Temperature Anemometer
- 6- Laser Pulsing Frequency

عمق مفید ۰/۶، و طول ۱۲ متر اجرا شد. جریان آب در کanal با یک الکتروپمپ و به صورت چرخشی برقرار شد. مشخصات جریان در جدول ۱ نشان داده شده است.

مواد و روش‌ها

به منظور تعیین اشلهای آشفتگی به روش همبستگی با تکنیک آزمایشگاهی PIV در شرایط پیچیده‌تر، آزمایش‌هایی در کanal مستطیلی به عرض ۵۰/۵ پیشنهاد شده است.

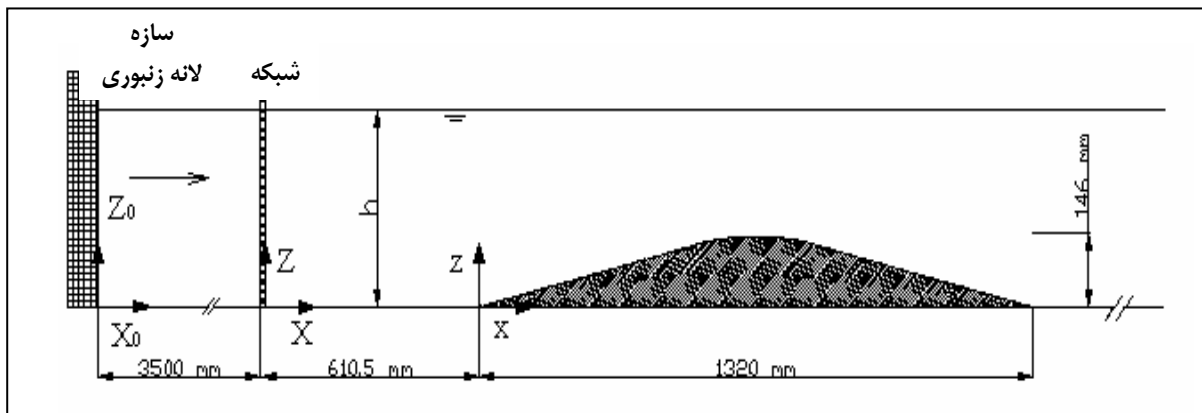
جدول ۱- مشخصات جریان

پارامتر	مقدار
عمق جریان (متر)	۰/۲۵
سرعت متوسط جریان (متر بر ثانیه)	۰/۲۱۶
عدد رینولدز	۲۴۸۷۰
عدد فراود در تاج مانع	۰/۵۵

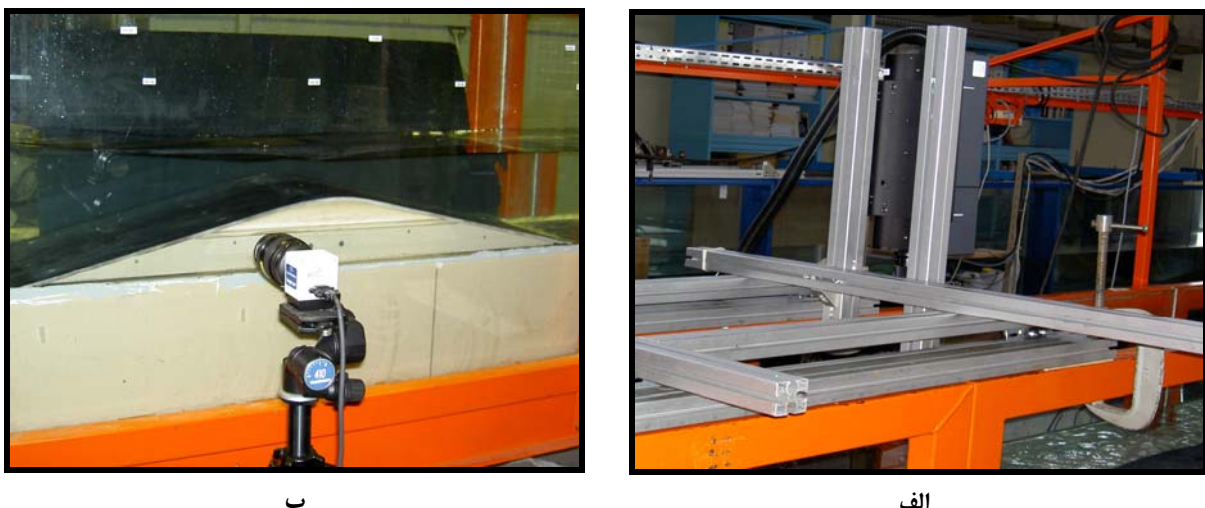
اندازه‌گیری سرعت‌های لحظه‌ای، از یک زنجیره کامل سیستم سرعت‌سنجی با تصویربرداری از ذرات PIV شرکت لاویژن^۴ استفاده شد. مشخصات این سیستم به شرح شکل ۶ است.

منبع لیزر مورد استفاده عبارت بود از یک لیزر پالسی^۵: Nd:YAG سطح ۴ با انرژی بیشینه ۱۲۰ میلی‌ژول بر پالس و طول موج ۵۳۲ نانومتر. صفحه نورانی لیزر (شکل ۵) به ضخامت حدود ۱ میلی‌متر را یک عدسی استوانه‌ای تولید می‌کند با فاصله کانونی ۱۰-۲۰۰۰ میلی‌متر متصل به یک واگرا کننده ۳۰ میلی‌متری و زاویه واگرایی ۳۰ درجه که به خروجی منبع لیزر متصل شده و مجموعه فوق روی کanal نصب شده است (شکل ۷).

به منظور حذف گردابه‌ها در جریان خروجی از پمپ، جریان در ابتدای کanal از یک سازه لانه زنبوری عبور داده شد. در مرحله بعد این جریان از میان چشمehای^۱ مربعی به طول ۳۳ میلی‌متر یک شبکه ساخته شده از آلومینیم به قطر ۶ میلی‌متر عبور داده شد. سپس جریان آشفته ایجاد شده، از روی یک بستر ۲ بعدی (به فرم مثلثی، از جنس PVC و گرد شده در تاج^۲) گذر داده شد تا شتاب افزایشی و کاهشی به ترتیب در بالادست و پایین دست تاج مانع ایجاد شود. فاصله بین تجهیزات نصب شده، با در نظر گرفتن برقراری جریان آشفته کاملاً توسعه یافته^۳ در کanal و با توجه به الگوی زوال توربولنس تعیین شد (Movahedian, 2007). مشخصات تجهیزات نصب شده در جریان، در شکل ۶ نشان داده است. به منظور



شکل ۶- تجهیزات نصب شده در کanal



شکل ۷- (الف) منبع لیزر نصب شده روی کanal، (ب) دوربین دیجیتال

تصویر در ثانیه به منظور جمع‌آوری داده‌ها بهره گرفته شد. به همین دلیل در هر سری اندازه‌گیری، ۱۰۰ جفت تصویر از موقعیت مورد نظر برداشته شد زیرا بیش از این مقدار تصویر در هر اندازه‌گیری، موجب کاهش سریع فرکанс تصویربرداری می‌شد. زمان روشنایی بین ضبط دو تصویر ۰/۵ میکرو ثانیه انتخاب شد که بسیار کمتر از زمان لازم (۶۶/۷ میکرو ثانیه) برای ضبط دو جفت تصویر است. اندازه‌گیری در موقعیت‌های مختلف صورت گرفت تا بخش‌های مختلف جریان روی مانع را پوشش دهد. در مجموع، برای هر موقعیت دوربین ۱۰۰۰ جفت تصویر از

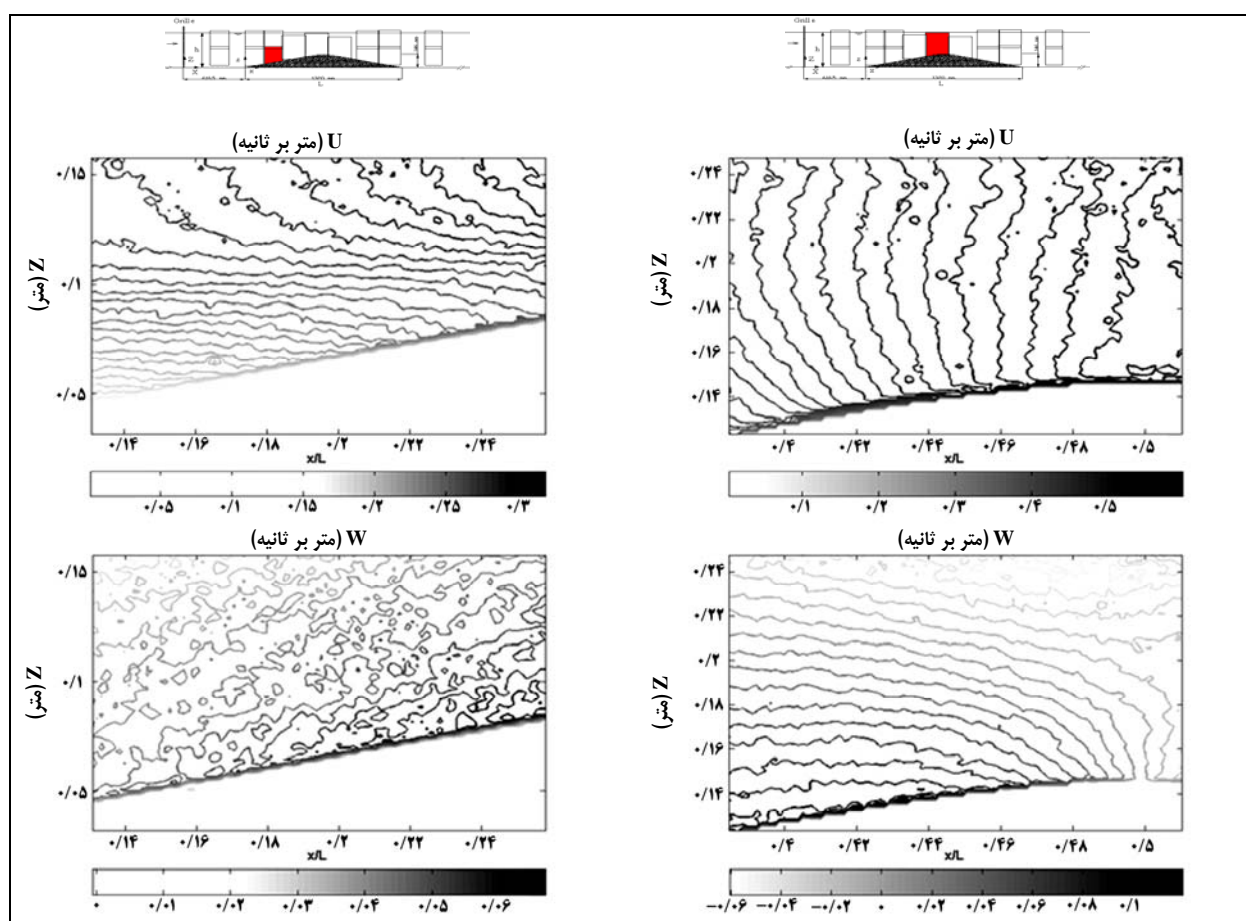
دوربین مورد استفاده عبارت بود از دوربین^۱ CCD سریع با تفکیک‌پذیری 1200×1600 پیکسل و ابعاد پیکسل $7/4 \times 7/4$ میکرومتر، فرکانس تصویربرداری ۳۰ تصویر بر ثانیه (جفت تصویر/جفت نمایش^۲)، با فاصله بین پالس‌های لیزر کمتر از ۲۰۰ نانو ثانیه و مدت زمان نور پردازی ۵۰۰ نانو ثانیه مجهز به یک عدسی نیکون با فاصله کانونی ۴/۵-۷/۸ میلی‌متر و بزرگنمایی ۴/۵-۵/۳ (شکل ۷).

پس از برقراری جریان، از بالاترین فرکانس تصویربرداری ممکن برای سیستم مورد استفاده یعنی ۳۰

ارزیابی روش PIV در تعیین مقیاس‌های...

نرم‌افزار داویس بعد از محاسبه میدان بردار سرعت جریان، به منظور بهبود نتایج به دست آمده، از الگوریتم ویژه تایید بردارها (فیلترهای میانه محلی و موضعی^۳) استفاده شد تا بردارهای نادرست از نتایج حذف شدند. نتایج حاصل از پردازش نهایی داده‌ها در فایل‌های شامل موقعیت نسبی نقاط و مولفه‌های لحظه‌ای سرعت جریان (افقی و عمودی)، قرار داده شد.

جریان ضبط شد؛ این تصاویر با استفاده از نرم افزار داویس^۱ پردازش و بردارهای سرعت جریان محاسبه شد. با توجه به ابعاد تفکیک‌پذیری تصویر (1200×1600 پیکسل) و اندازه انتخاب شده برای پنجره جستجو (32×32 پیکسل یا $1/65 \times 1/65$ میلی‌متر) با همپوشانی^۲ ۵۰ درصد، در مجموع 100×75 پنجره جستجو یا 7500 بردار سرعت برای هر جفت تصویر به دست آمد. در



شکل ۸- توزیع مولفه‌های افقی و عمودی سرعت متوسط جریان روی بستر (جهت جریان از چپ به راست)

می‌توانند دسترسی به مقیاس‌های زمانی و مکانی جریان را ممکن سازند، محاسبه شد (روابط ۱۰ و ۱۲ تا ۱۴).

با استفاده از این داده‌ها و با یک برنامه کامپیوتی، پارامترهای آماری و ضرایب همبستگی مکانی و زمانی در نقاط مختلف میدان جریان، که

$$\bar{U}(x,z) = \frac{1}{n} \sum_1^n U_i(x,z), U_i(x,z) = u_i(x,z) + \bar{U}(x,z) \quad (12)$$

$$\bar{W}(x,z) = \frac{1}{n} \sum_1^n W_i(x,z), W_i(x,z) = w_i(x,z) + \bar{W}(x,z) \quad (13)$$

$$(R_{j,j})_{t1,t2} = \frac{\overline{(u_j)_{t1}(u_j)_{t2}}}{\overline{u_j} \overline{u_j}} \quad (14)$$

$$(R_{j,k})_{A,B} = \frac{\overline{(u_j)_A(u_k)_B}}{\overline{(u_j)_A} \overline{(u_k)_B}} ; j,k = 1,2 \quad (15)$$

ارتفاع و ۱۲۰ میلی‌متر در عرض) بسیار وسیع‌تر از یک که در آنها، $j, k = 1, 2$ نمودار مولفه‌های نوسانی سرعت هستند.

حجم اندازه‌گیری سیستم LDV (در حد ۱۰ میلی‌متر) است. با محاسبه مقدار ضرایب همبستگی مربوط به مولفه افقی سرعت جریان، R_{11} در نقاط مختلف روی بستر (رابطه ۱۰)، مقیاس طولی انتگرال مربوط، L_f برای این نقاط از رابطه ۱۱ محاسبه شد. شکل ۹، توزیع این مقیاس انتگرال طولی جریان را با استفاده از مقادیر به دست آمده برای مقیاس طولی حدود ۱۰۰۰ نقطه مختلف جریان نشان می‌دهد. این نمودار می‌تواند اطلاعات مفیدی در زمینه روند تغییرات مقیاس طولی به دست دهد.

در پایین دست شبکه واقع در بالادست مانع، در محدوده‌ای وسیع از جریان مقیاس طولی به دلیل اثر شبکه بالادست همگن است (شکل ۹-الف).

تغییرات نسبتاً زیاد مقیاس طولی جریان روی بستر برای شرایط موجود (۵ تا ۸۵ میلی‌متر)، نشان می‌دهد که تعیین ضرایب همبستگی در چنین شرایطی باید برای فاصله‌های نسبتاً بزرگ ۲ صورت گیرد. این فاصله برای سیستم LDV، حداقل ۲۰ میلی‌متر است که با چنین محدودیتی تعیین سطح زیر منحنی با چنین فاصله‌ای با

نتایج و بحث

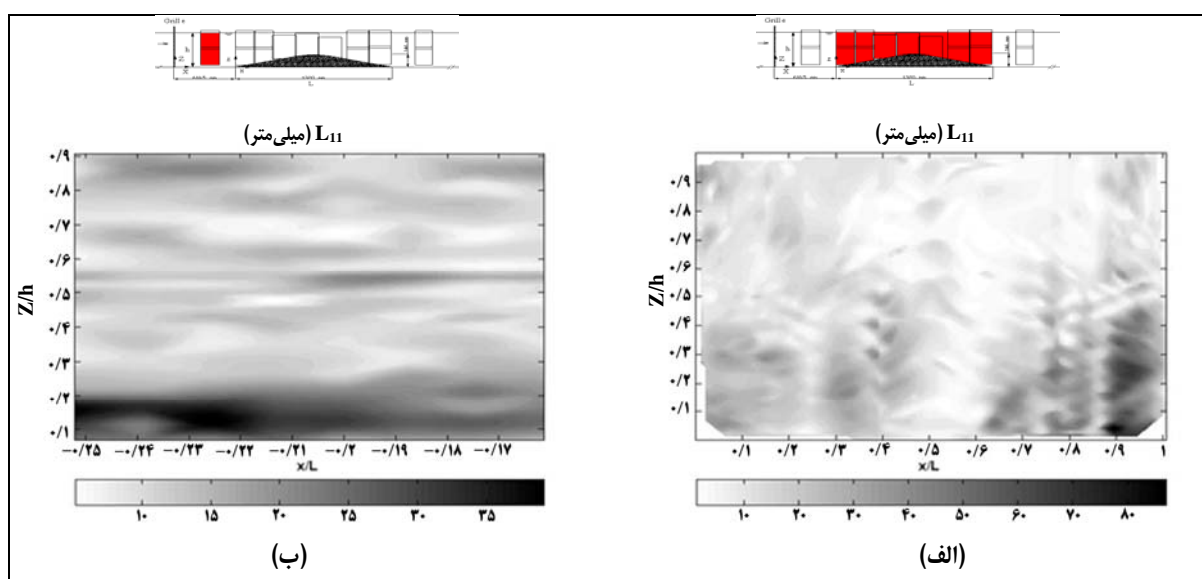
شکل ۸، توزیع مولفه‌های افقی و عمودی سرعت جریان (U و W) را به صورت منحنی‌های هم سرعت روی بستر دو بعدی و در ناحیه جریان با شتاب افزایشی نشان می‌دهد. این شکل روند افزایش مولفه‌های سرعت جریان ناشی از کوچک شدن سطح مقطع را به خوبی ارائه می‌دهد. این نتایج (به دست آمده برای توزیع سرعت با استفاده از سیستم PIV) با نتایج به دست آمده از اندازه‌گیری توسط سیستم سرعت‌سنجدی لیزری (LDV) کاملاً مطابقت دارد به ویژه توزیع همگن در جهت قائم مولفه‌های سرعت در ناحیه تاج مانع و روند تغییرات مولفه قائم سرعت در این منطقه (Movahedan, 2007). بنابراین، به رغم پایین بودن فرکانس اندازه‌گیری سیستم PIV استفاده شده نسبت به یک سیستم LDV، دقت نتایج به دست آمده در زمینه توزیع سرعت کاملاً قابل قبول است. افزون بر آن، میدان سرعت اندازه‌گیری شده سیستم PIV (۱۷۲ میلی‌متر در

ارزیابی روش PIV در تعیین مقیاس‌های...

مقیاس‌های طولی ماکریزم، در واقع از لایه برشی تشکیل شده در پایین دست تاج ناشی می‌شوند (Yue *et al.*, 2005) و بر محل به حداکثر رسیدن شدت آشفتگی منطبق هستند (Movahedian, 2007).

خطای بزرگی همراه خواهد بود. بنابراین، سیستم PIV با توجه به وسیع بودن میدان اندازه‌گیری آن می‌تواند به خوبی می‌تواند این فاصله را پوشش دهد.

مقیاس‌های طولی بزرگ، در عمل در پایین دست تاج مانع (شکل ۹، ب؛ $x/L > 0.6$) به وجود می‌آیند. این



شکل ۹- روند تغییرات مقیاس انتگرال طولی L_{11} در جهت افقی: (الف) قبل از مانع، (ب) روی بستر

سیستم LDV مبنی بر تاثیر شتاب افزایشی در کوچک شدن اندازه مقیاس طولی، مطابقت دارد. تعیین مقیاس زمانی آشفتگی، با توجه به پایین بودن فرکانس تصویربرداری سیستم مورد استفاده، دقت مناسب ندارد زیرا تعیین اشلهای زمانی مستلزم آن است که ضرایب همبستگی زمانی نوسانات سرعت و تغییرات آن برای فواصل زمانی کوتاه‌تر و نیز زمان طولانی‌تر تعیین و ترسیم شود؛ امری که نیازمند سیستمی با قابلیت تصویربرداری و ضبط سریع‌تر است. با این حال، بررسی‌ها نشان می‌دهد که سیستم PIV با مشخصات فوق می‌تواند

مقیاس‌های طولی بزرگ در جهت جریان گسترش می‌یابند و در پایین دست مانع به بالاترین مقدار می‌رسند (۹۰ میلی‌متر). این نتیجه، تاییدی است بر نتایج (Anwar & Atkins, 1982; Bennett & Best, 1995) مبنی بر امکان‌پذیر بودن افزایش مقیاس طولی جریان با گذر از یک بستر دو بعدی.

مقیاس‌های طولی کوچک، در محدوده تاج مانع یعنی در پایین دست ناحیه با شتاب افزایشی قرار دارند. این نتیجه با نتایج مورزین (Murzyn, 2005) و مورزین و بلورگی (Murzyn & Bélorgey, 2005) با استفاده از

لیزر، اندازه‌گیری ضرایب همبستگی عملأ در نقاطی با فاصله بیش از ۲۰ میلی‌متر آن هم تنها برای یک مولفه سرعت جریان صورت نگرفته است. بنابراین در صورت وجود مقیاس‌های مکانی بزرگ در جریان، تخمین منحنی نزولی همبستگی نوسانات سرعت جریان (شکل ۲) با دقت پایینی همراه خواهد بود.

برای رفع این مشکل، استفاده همزمان از دو سیستم لیزر مجزا می‌تواند یک راه حل باشد که آن هم پر هزینه و نیز مستلزم به کارگیری تدبیری اساسی برای همزمان کردن اندازه‌گیری سرعت در نقاط مختلف است و عملأ کمتر به کار گرفته شده است.

استفاده از سیستم سرعت‌سنجی با روش تصویربرداری از ذرات می‌تواند گزینه‌ای مناسب برای تعیین مشخصات زمانی و مکانی انواع جریان‌ها در نظر گرفته شود. این سیستم همانند سیستم لیزری روشی غیر مزاحم است و علاوه بر آن میدان اندازه‌گیری سرعت‌های لحظه‌ای در مقایسه با سایر سیستم‌ها بسیار وسیع‌تر است (محدوده این میدان در واقع همان ابعاد تصویر به‌دست آمده از دوربین دیجیتال است که می‌تواند از 10×10 سانتی‌متر هم بزرگ‌تر باشد). محدودیت‌های اصلی سیستم PIV مربوط است به پایین بودن فرکانس تصویربرداری دوربین دیجیتال و پالس‌های لیزر منبع لیزر مورد استفاده که با افزایش دانش و تجربه، امکان تصویربرداری دیجیتال و ضبط آن با سرعت بیش از ۱۰۰۰ تصویر در ثانیه و با افزایش قابلیت تفکیک‌پذیری و سرعت ضبط تصویر، امکان دسترسی به مقیاس‌های زمانی و مکانی هر چه کوچک‌تر امکان‌پذیر خواهد بود.

رونده کیفی تغییرات مقیاس زمانی آشفتگی را به خوبی نشان دهد (Movahedan, 2007).

نتیجه‌گیری

به منظور اندازه‌گیری آشفتگی و ساختار کامل جریان، سیستم‌های آزمایشگاهی مورد استفاده باید دو ویژگی اصلی تفکیک‌پذیری مکانی و زمانی بالا را دارا باشند. استفاده از توربولانس شبکه و فرضیه تیلور به منظور تعیین مقیاس‌های آشفتگی، محدود به شرایط جریان همگن و همسانگرد است یعنی در جریان‌های پیچیده قابل کاربرد نیست. ضمن اینکه، برابر الگوی زوال توربولانس شبکه، فرض همگنی جریان به خصوص در جریان‌های با سطح آزاد تنها محدوده‌ای خاص از پایین دست شبکه را شامل می‌شود. پس، در شرایط پیچیده‌تر (وجود شتاب و فشار افزایشی یا کاهشی در جریان) نیاز به استفاده از روش‌های دیگر است.

استفاده از روش همبستگی برای تعیین مقیاس‌های آشفتگی (در جریان غیر همگن و غیر همسانگرد)، تنها در شرایطی پاسخ دقیق خواهد داد که سیم‌های داغ به اندازه کافی از هم دور باشند. حداقل این فاصله بزرگ‌تر از اندازه سیم‌هاست و گرنه تعیین مقیاس‌های کوچک همراه با خطا خواهد بود.

با استفاده از سیستم سرعت‌سنجی لیزری در شرایط جریان غیر همسانگرد، با استفاده از جداسازی حجم‌های اندازه‌گیری در خروجی سوند لیزر، امکان تعیین ضرایب همبستگی و دسترسی به مقیاس‌های جریان وجود دارد. با این حال، به دلیل محدودیت سیستم نوری متصل به سوند

مراجع

- Anon. 1998. BSA Flow Software. Installation and User's guide. DANTEC.
- Anwar, H. O. and Atkins, R. 1982. Turbulent structure in an open channel flow. In: Euromech 156: Mechanics of sediment transport. Istanbul. 19-25.
- Belmabrouk, H. 1992. Turbulence length scale measurements by two-point laser Doppler velocimetry. PhD Thesis. Centrale Lyon University. (in French)
- Bélorgey, M., Arsié, A. and Cadiergue, S. 1999. The importance of the turbulence scale in coastal engineering. Proceedings of Hydralab Workshop. Feb. 17-19. Hanover. Germany.
- Bennett, S. J. and Best, J. L. 1995. Mean flow and turbulence structure over fixed, two-dimensional dunes - implications for sediment transport and bed form stability. *Sedimentology*. 42(3): 491-513.
- Bourke, P. J., Drain, L. E. and Moss, B. C. 1971. Measurement of spatial and temporal correlations of turbulence in water by laser anemometry. *DISA Inf.* 12, 17-20.
- Cadiergue, S., Michaux - Leblond, N. and Bélorgey, M. 1999. Settling velocity of a single heavy particle in a turbulent flow. Paris Science Academy Report. Seri II b. Mech. Phys. Astron. 327(14): 1379-1384. (in French)
- Cenedese, A., Romano, G. P. and Di Felice, F. 1991. Experimental testing of Taylor's hypothesis by LDA in highly turbulent flow. *Experiments in Fluids*. 11(6): 351-358.
- Cole, J. B., Swords, M. D. and Tromans, P. S. 1980. A proposed method of measuring turbulence length scales using laser-Doppler anemometry and photon Correlation. *J. Phys. D. Appl. Phys.* 13, 1137-1143.
- Derbunovich, G. I., Repik, E. U. and Sosedko, I. P. 1978. Experimental determination of the integral scale of turbulence in the boundary layer. Academia Nauk SSSR. Sibirskoe Otdelenie. Izvestiia. Seriia Tekhnicheskikh Nauk. (in Russian)
- Eriksson, J. G. and Karlsson, R. I. 1995. An investigation of resolution requirements for two-point correlation measurements using LDV. *Experiments in Fluids*. 18(5): 393-396.
- Favre, A. J. 1965. Review on space-time correlations in turbulent fluids (Space-time correlation of turbulent flow) examining velocity and wall pressure in incompressible and compressible flow. *ASME. Trans. J. appl. Mech.* 32, 241-257.
- Frenkiel, F. N., Klebanoff, P. S. and Huang, T. T. 1979. Grid turbulence in air and water. *Phys. Fluids*. 22(9): 1606-1617.
- Goepfert, C., Marié, J. L. and Lance, M. 2004. Characterizing of an experimental device generating homogeneous and Isotropic turbulence by synthetic jets. The 9th French Congress of Laser Velocimetry. ULB. Sept.14-17. Brussels. Belgium. (in French)
- Hinze, J. O. 1975. Turbulence. 2nd Edition. McGraw-Hill. USA.
- Hyo Jung, K., Chang, K. A. and Huang, E. T. 2005. Two-dimensional flow charataractics of wave interactions with a free-rolling rectangular structure. *Ocean Eng.* 32, 1-20.

- Jensen, K. D. 2004. Flow Measurements. *J. Braz. Soc. Mech. Sci. Eng.* XXVI (4): 400-419.
- LaVision. 2002. DaVis flow master software manual. Germany.
- Michelet, S., Antoin, Y., Lemone, F. and Maouast, M. 1998. Direct measurement of the kinetic energy dissipation rate of turbulence using 2D LDA. Application to grid-generated turbulent flow. *Paris Science Academy Report. Seri II b. Mech. Phys. Astron.* 326 (10): 621-626. (in French)
- Mohamed, M. S. and Larue, J. C. 1990. The decay power law in grid-generated turbulence. *J. Fluid Mech.* 219, 195-214.
- Monin, A. S. and Yaglom, A. M. 1971. *Statistical Fluid Mechanics: Mechanics of Turbulence*. The MIT Press. Cambridge. Massachusetts.
- Morton, J. B. and Clark, W. H. 1971. Measurements of two-point velocity correlations in a pipe flow using laser anemometers. *J. Phys. Sci. Instrum.* 4, 809-814.
- Movahedan, M. 2007. Analysis of the evolution of the turbulence scales in accelerated or decelerated flow: application to sediment transport. PhD Thesis. University of Caen/Basse Normandie. (in French)
- Movahedan, M., Mihoubi, M. K. and Bélorgey, M. 2007. Determination of the turbulence scale using Particle Image Velocimetry. 1st International Seminar on Fluid Dynamics and Materials Processing. June. 2-5. Algiers. Algeria.
- Murray, S. P. 1970. Settling velocities and vertical diffusion of particles in turbulent water. *J. Geophys. Res.* 75(9): 1647-1654.
- Murzyn, F. 2002. Experimental study of wave influence on turbulence scales: Application to swell. PhD Thesis. University of Caen/Basse Normandie. (in French)
- Murzyn, F. and Bélorgey, M. 2002. Turbulence structure in free-surface channel flows. *Hydraulic Measurements and Experimental Methods Conference*. July 28–August 1. Estes Park. Colorado. USA.
- Murzyn, F. and Bélorgey, M. 2005. Wave influence on turbulence length scales in free surface channel flows. *Exp. Thermal. Fluid Sci.* 29(2): 179-187.
- Nielsen, P. 1992. Coastal bottom boundary layers and sediment transport. World Scientific Pub. Advanced series on Ocean Engineering.
- O'Neill, P. L., Nicolaides, D., Honnery, D. and Soria, J. 2004. Auto-correlation functions and the determination of integral length with reference to experimental and numerical data. The 15th Australasian Fluid Mechanics Conference. Dec. 13-17. Sydney. Australia.
- Padet, J. P. 1990. *Fluids flow*. Masson. Paris. (in French)
- Pope, S. B. 2000. *Turbulent Flows*. Cambridge Universit Press. Cambridge. UK.
- Saarenrinne, P., Piirto, M. and Eloranta H. 2001. Experiences of turbulence measurement with PIV. *Meas. Sci. Technol.* 12, 1904-1910.

ارزیابی روش PIV در تعیین مقیاس‌های...

- Summer, W. and Walling D. E. 2002. Modeling erosion, sediment transport and sediment yield. IHP-VI. Technical Documents in Hydrology. UNESCO. Paris.
- Tennekes, H. and Lumley, J. L. 1997. A first course in turbulence. The 16th Edition. MIT Press. Cambridge. USA.
- Zhou, T. and Antonia, R. A. 2000. Approximations for turbulent energy and temperature variance dissipation rates in grid turbulence. *Phys. Fluids*. 12(2): 335-344.



Assessment of PIV Technique on Determination of Turbulence Scales

M. Movahedan* and M. Bélorgey

*Corresponding Author: Academic Member, Agricultural Engineering Research Institute, P. O. Box: 31585-845, Karaj, Iran.
E-mail: m.movahedan@gmail.com

The proper and quantitative recognition of the scale of turbulence in regard to issues such as sediment transport is of major importance. Different experimental techniques can be used to determining the scale of turbulence, but the accuracy of these techniques is open to question. In this paper, after a review of the Taylor method, the restrictions and advantages of velocity measurement techniques such as hot wire anemometry (HWA), laser doppler velocimetry (LDV) and particle image velocimetry (PIV) are described. Correlation coefficients were applied to determine the scale of turbulence using these techniques. The results showed that the main restrictions of the HWA technique were its intrusiveness and the sensitivity of the sensor. The LDV technique was restricted to measuring correlation coefficients in small distances and for just one velocity component. The results showed that the PIV technique has restrictions in its framing rate, saving image, image resolution and laser pulsing frequencies. However, considering the large spatial domain of PIV and its non-intrusive measurements and especially the continuous development of its capabilities, PIV is an appropriate technique for determination of the scale of the flow of turbulence.

Key Words: Correlation Coefficient, Experimental Technique, Laser Doppler Velocimetry, Particle Image Velocimetry, Turbulence Scale